PC2 DS2
Folubileté du bulfate de calcium
1. Po F2 recometrue coudée
$P_1 = P_1 + P_2$
2. En conactérite le pouvoir distociont (ou dispersont) du solocal
En = 4 estrene maleur faible : El, O est un dolocant pere deskirent
Le composé ionique oux reste sous forme d'4 parei d'ions
dence de l'éther (n+x-)
3. Un soloant protique perséde 14 cecide lie' à un atome
éléctrono égatif la 0 ou W: (Ex R-O-H) Le diéthy l'éther 10 (ou éther) est ein solocent aprotique.
Deitsocian per du ociant apolani DASO
protique aprotique aprotique
HO DISO CH3COOH CHECK COLY DMF H
5. Un soboant polecie dispersant poermet.
- la disociation de la parie d'ions du solide ionique mx -> m+x-
- la solvatation de chaque eon M+ M+(soloat)
(chaque ion est entoure de molécules de solocits) X-(solocit)
6. Ca Soy 2(H,0)(1) = Cady + Soy eq) + 2H20' 148=2,610-5
EF Exes.
EE « " oc oc molt! LAM = K8 = x2
$\Delta = \infty = VRS = S, 1107 mol L$
7. La solvo d'usus nyet et le filtrat doivent être preliocès précisement.
de tampon doit étre pouleur ce l'eprouvette graduée
La moitre de gypte ne doit par étre connue précisement : elle dat
été duffilante pour que la délution sut sature. une précision à golg
est dufficients.

3.	Poéaction de tetrage évrites ce partir des espéces entroductes    Ca2+ + H, x7- , 2NH3 = Ca x7- , 2NH4+ K0 = Bay Kn3 Kn4 = 1011,351    Ny2+ + 1+2x2- +2NH3 = Ngx2- , 2NH4+ No ny = BNgx Kn3 Kn4 = 1010,651
	(Ca2+ + H, x2- , 2NH3 = Ca y2- , 2NH4+ KO = Bay MASKAY = 1012,3)
	ng2+ + 1+2×2-+2NH = ngx2-+2NH+ Nong
	Les 2 reactions sont quantitations of Simultanies
9.	avec le filtrat, à l'équivalence Catt ngu ont dotés
	maget ) dore 1 m Cast ) dore = m H2 x2- = Cx 00e
	avec l'eau, deul ny est date
	m nu + dashe = m Ho x = C. 100
	$mCa^{2t} = c_{y}(v_{e} - v_{e}^{i})$ $Ca^{2t} = c_{y}(v_{e} - v_{e}^{i})$ $V_{fi} \text{ limit}$
	0.12. 01.1
	$AW Ca2t = 1, 10^{-2} \text{ mol } L^{-1}$
10	Tette concentration est kep plud emportante que alle attendue
40 .	Ascent l'ajout de H, x2- la solution contient au ny 4, NH, /
	le complexe Py Ind-formé de l'on
	Tout along la solut a la couteur rose violette 39 6,4 1 1/35
	do ny Ind
	1 1 1 1 1 1 1 1 1 2 1 1 2 1 1 2 1 2 1 1 2 1
	ona Natand 2- +H, Y2- +NH, = nax2-+NH+ + HFord 2-
	HO_ Bry Kas Hay _ 10518
	La solution porond la couliur blue Bryton x Km x Km3
	on a Nigtand 2- +H, Y2- +NH, = ng x2- +NH + + H Fmd 2-  No = Bry Kas Kay = 10518  Do solution prond la couleur blue Bry x x Km x Km 3  de H Ind 2-
	changem! de couluir rose _, bleu
1	1. En peut ajout en 5 mL au lieu de 1 mL. Geta me change pas
	le repércige de l'équivalence les volumes orquisalents heral
	1. En peut ajout en 5 mL au lieu de 1 mL. Gela ne charge pas le repérage de l'équipalence les volumes organisalents teral modifiés $0 = 5 \times 2, 5 = 12, 5 \text{ mL}$ $Ve = 7 + 12, 5 = 19, 5 \text{ mL}$
٦.	
	S = [Ca 24] + [Ca 2+, Soy 2-]

13.  $K_{S} = [C\alpha^{24}][So_{4}^{2-1}] = [C\alpha^{24}]^{2}$ ,  $K_{2} = [C\alpha^{24}]$ .  $[C\alpha^{24}] = V_{KS}$  et  $J = V_{KS} + K_{2} = 1.03 10^{-2} \text{ mol } L^{-1}$ Gette valeur est plus enaccord and alle abtenue parte dalye

14. [Sieffet d'ions communs est la diminu de la soluba lite'd' L

Solide ionique  $n \times (i)$  ols une solution combenant ales ions int be  $X = [C\alpha^{24}] = V_{KS}$ 

Lei il n'y a aucun ion commun entre vat, d- d ca4 20,7.
L'effet d'ions commen ne peut pas otre se voque.

## Propulsion de la sonde Rosetta

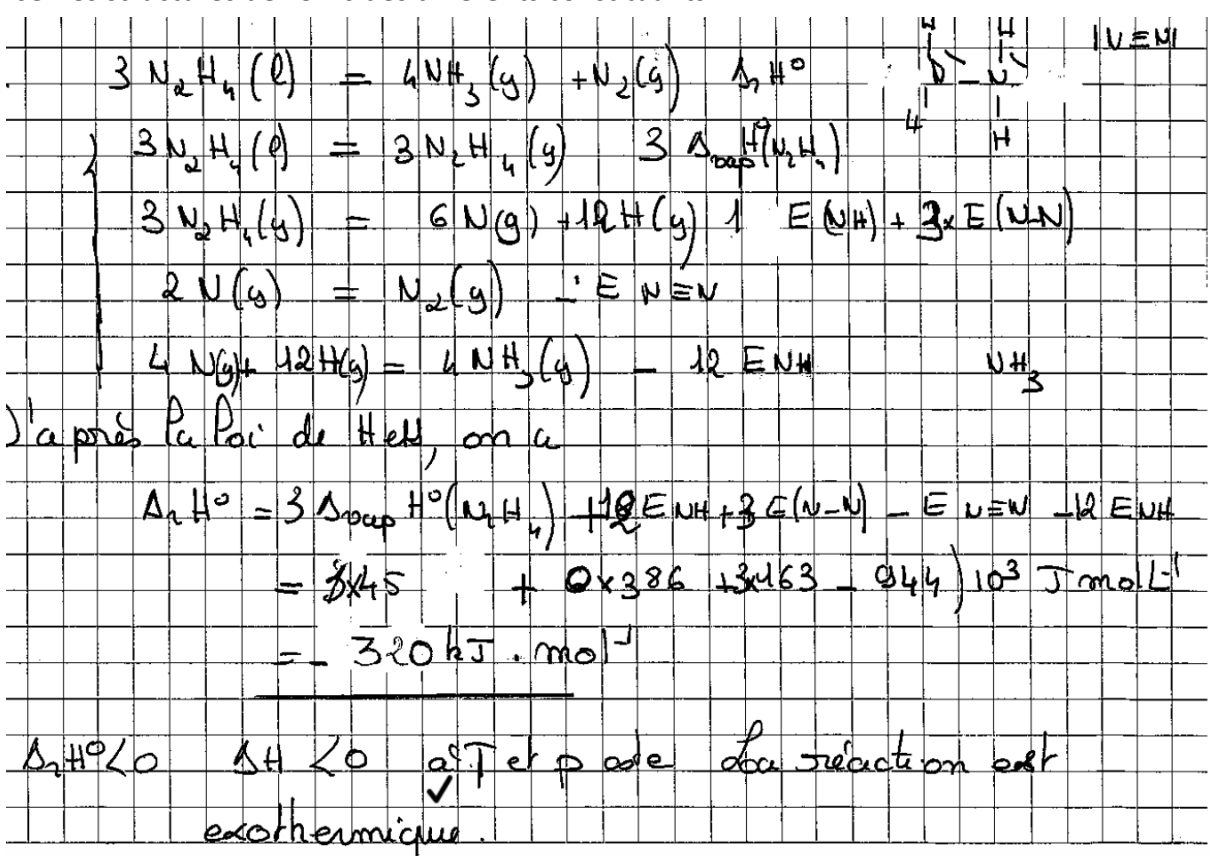
1.

Par définition, **l'enthalpie de formation de l'hydrazine** est l'enthalpie de formation d'une mole d'hydrazine (I) à partir des éléments qui la constituent pris dans leur état standard de référence.

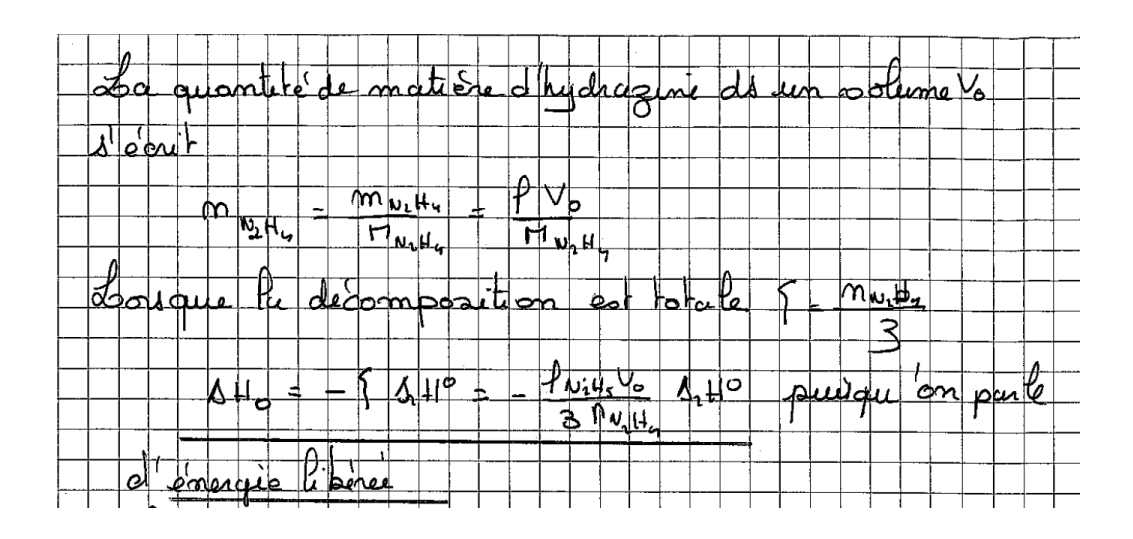
$$N_2(g) + 2H_2(g) = N_2H_{'4}(I)$$

 $\Delta_f H^\circ$  ( $N_2(g)$ ) = 0 car le diazote est un corps simple et que l'état standard de référence de l'élément N est le diazote gazeux.

2 Il faudra utiliser les enthalpies de liaison qui sont définies à partir des composés gazeux. Il faut utiliser les structures de Lewis des différents constituants.



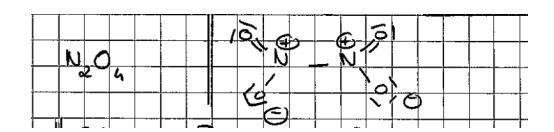
3.



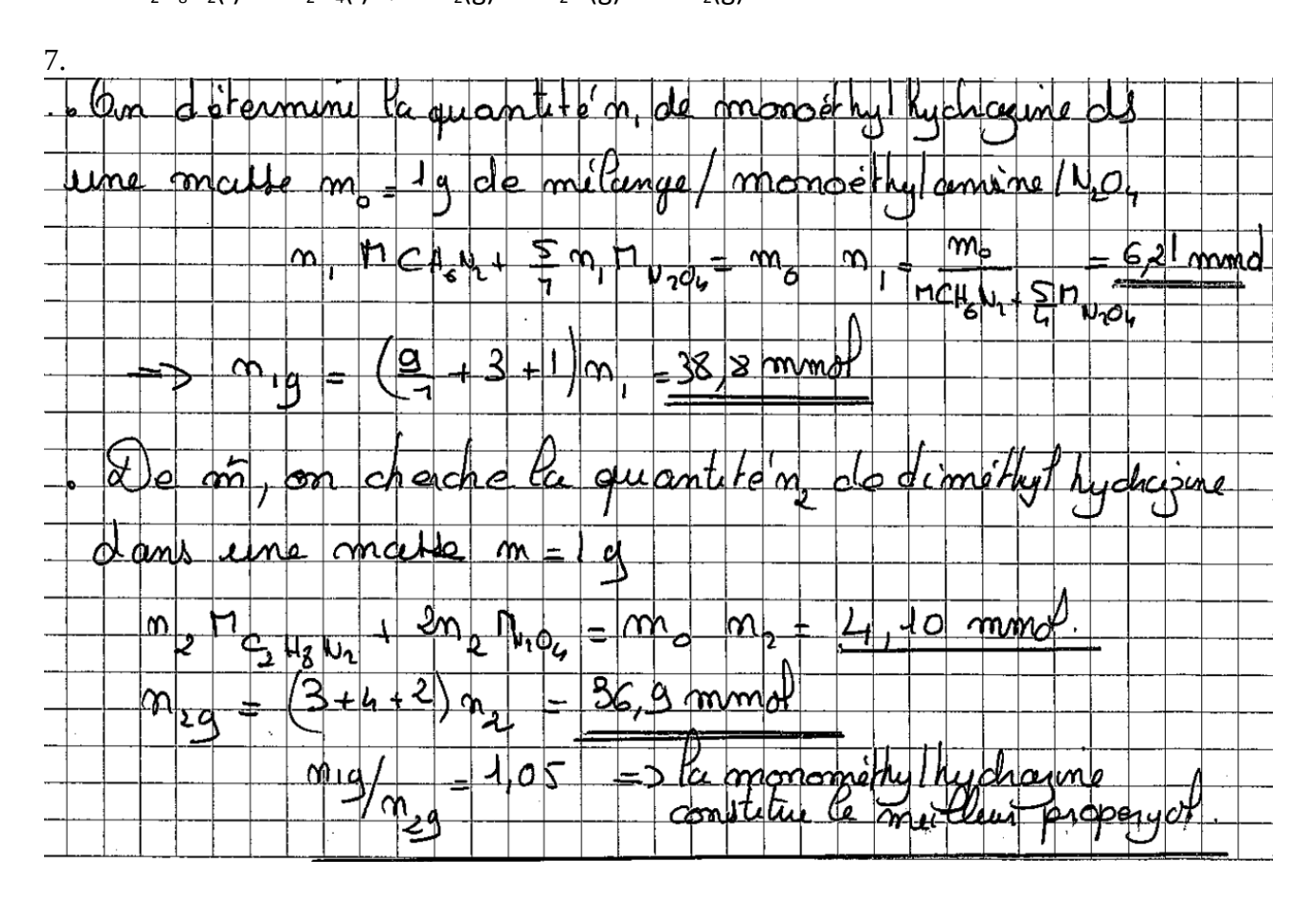
4.

		c		n	m		ιč	31.	ء	m	1	A	H	_	3	7	0	6	_ر		b	DCV	2	V.	=	4						$\dashv$	_	_
	<u>ا</u> ل	ļ.,				-A-		1						_		L					T			ס				,						
_ c	6	<u>_</u>	9	٥	ථ	Te.		2	e_	<b>¢</b> ⊆	e	m	ط	سعث	19	سا	بدا		e/s	жį	حط	w	m	يھ	0	21_	U.	he.	٠.4	20/	_			
	-	-		+			_	ļ	_	ļ.,	_	ļ	_		1				-				_	<u> </u>										
-	-	+	-	-			_	-		$\perp$	<u> </u>	<del> </del>	<u> </u>	<u> </u>		=	6	, ਪ	L					ļ								_	$\perp$	_
_	<u> </u>	ļ		_			<u> </u>	↓_	1	-	ļ		8	<u> H c</u>	_				ļ .			<u> </u>	<u> </u>					<u> </u>				_		_

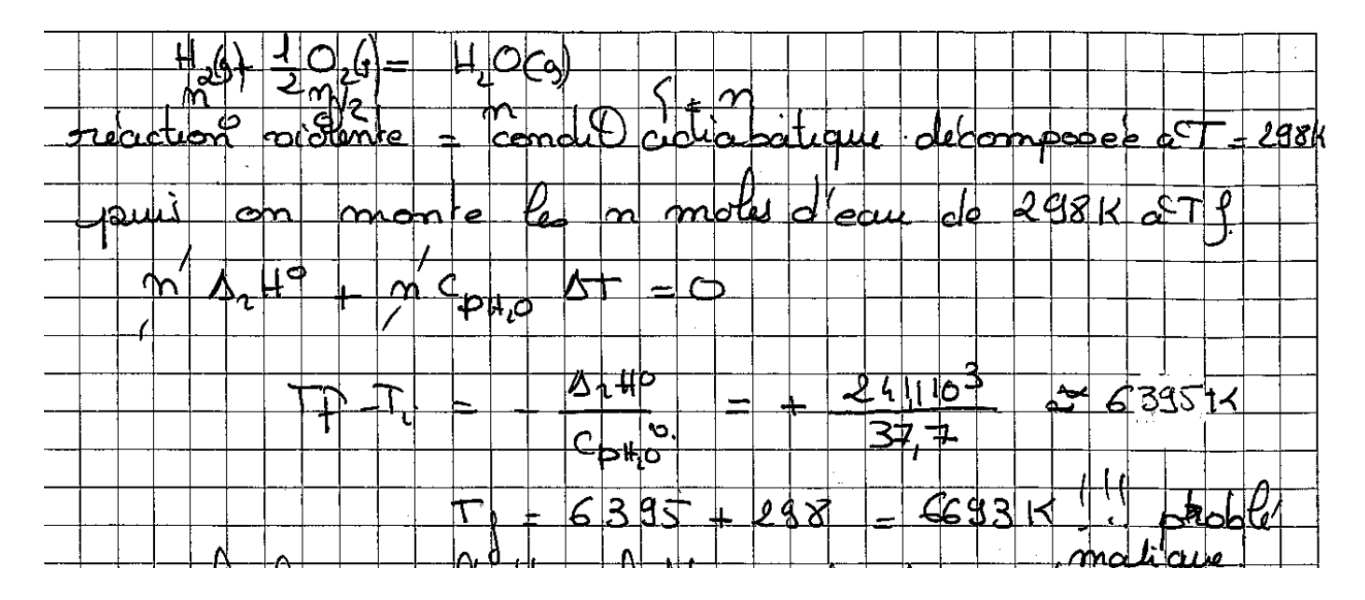
5.



6.  $\begin{aligned} \mathsf{CH_6N_2(I)} + 5/4 \ \mathsf{N_2O_4(I)} & \to 9/4 \ \mathsf{N_2(g)} + 3\mathsf{H_2O(g)} + \mathsf{CO_2(g)} \\ \mathsf{C_2H_8N_2(I)} + 2 \ \mathsf{N_2O_4(I)} & \to 3 \ \mathsf{N_2(g)} + 4\mathsf{H_2O(g)} + 2\mathsf{CO_2(g)} \end{aligned}$ 



8.



Car on atteint une température plus élevée que dans le soleil. On atteint les limites du modèle.

## **TAMOXIFENE CENTRALE 25; CORRECTION**

1. La température de 37°C est la **température du corps humain**, le *pH* de 6,0 proche du *physiologique*. Le pH du corps humain est compris entre 2 et 7.

On constate que le tamoxifène est insoluble dans l'eau. Sa solubilité augmente en présence de  $\beta$ -cyclodextrine. Cette solubilité augmente d'autant plus que la proportion de HBenBCD est importante. L'équilibre est rapidement atteint.

**2.** La quantité initiale de tamoxifène est  $n_T = 0.422/564 = 7.4810^{-4}$  mol.  $V_T = 14$  mL.

La solubilité de la cyclodextrine dans l'eau est la quantité maximale de cyclodextrine qui est dissoute à l'équilibre thermodynamique par unité de volume d'eau.

Rapport TB: HBenBCD	1: 2,4	1:3,5	1: 7,1			
% Dissolution	40	55	65			
Solubilité	$2, 1. 10^{-2} mol. L^{-1}$	$2, 9.  10^{-2}  mol.  L^{-1}$	$3, 5. 10^{-2} \ mol. L^{-1}$			

Il s'établit l'équilibre

$$T_{(s)} + HBenBCD = \mathbb{C}_{T/HBenBCD}$$

$$K^{\circ} = Q_{r,eq} = \frac{\left[\mathbb{C}_{T/HBenBCD}\right]_{eq}}{\left[HBenBCD\right]_{eq}}$$

Cet équilibre est déplacé vers la droite lorsque [HBenBCD] augmente.

Cependant, l'augmentation de solubilité s'atténue lorsque la proportion de HBenBCD devient plus importante.

La forme basique du Tamoxifène, peu polaire et peu protique, ne se dissout pas dans l'eau, polaire et protique, mais présente plus d'affinité pour l'intérieur de la cavité de la cyclodextrine, moins polaire et moins protique que les deux bords du cylindre que forme la macromolécule.

La partie extérieure de HBenBCD possède de nombreux groupe OH, polaires et protiques qui permettent de la solubilisation de HBenBCD et donc du tamoxifène encapsulé.

3. On note  $K_1^{\circ}$  la constante d'équilibre associée à la réaction de complexation d'équation :

$$T_{(aq)} + C_{(aq)} = T - C_{(aq)}$$

$$K_1^{\circ} = \frac{[T-C]_{eq}c^{\circ}}{[T]_{eq}[C]_{eq}}$$

Lorsque 
$$[T - C]_{eq} = [T]_{eq}$$
,

$$pC = -log_{10}\left(\frac{[c]_{eq}}{c^{\circ}}\right) = log_{10}\left(K_{1}^{\circ}\right)$$

D'après le diagramme de distribution, à 298 *K*, Soit

$$log_{10}(K_1^{\circ}) = 3$$
  
 $K_1^{\circ}(298 K) = 10^3$ 

4. 
$$T(aq) + C(aq) = TC(aq)$$
EI  $c_T$   $C_{ci}$ 

EE 
$$0.01c_{T}$$
  $C_{ci}$ - $0.99c_{T}$   $0.99c_{T}$ 

On applique la loi d'action des masses :  $K_1^{\circ} = 0.99c_T / (0.01c_T.(C_{ci} - 0.99C_T))$  soit  $C_{ci} = 0.99c_T + 99/K_1^{\circ}$   $r = C_{ci}/c_T = 0.99 + 99/(K_1^{\circ}.c_T) = 99.99$ 

5. 
$$\begin{cases} K_1^{\circ} = \frac{[T-C]_{eq}c^{\circ}}{[T]_{eq}[C]_{eq}} \\ C_T = [TC]_{eq} + [T]_{eq} \end{cases} \text{ soit } C_T = [T]_{eq}(1 + K1^{\circ}.\frac{[C]}{C^{\circ}})$$

$$\frac{[T]_{eq}}{c_T} = \frac{1}{1 + \frac{\kappa_1^* [C]_{eq}}{c^\circ}} = \frac{1}{10^{-(p\kappa_1^\circ + pc)}_{+1}} \qquad \text{et} \qquad \%_{T,eq} = \frac{100}{1 + 10^{-(p\kappa_1^\circ + pc)}}$$

$$\frac{\text{def f (pc : float, pk : float) -> float :}}{\text{return 100/ (1+10**(-(pk+pc)))}}$$

$$\frac{\text{def g (pc : float, pk : float) -> float :}}{\text{return 100-f (pc,pk)}}$$

$$\frac{\text{S(aq)} + \text{ ACD(aq) = S-ACD(aq)}}{\text{S[S]_0} \quad [\text{ACD]_0} \quad \text{mol.L}^{-1}}$$

$$\text{EE} \qquad [\text{S]_0-x} \quad [\text{ACD]_0-x} \quad \text{x} \quad \text{x = [S-ACD]}$$

$$\frac{A_0 = \varepsilon_S \ell[S]_0 + \varepsilon_{ACD} \ell[ACD]_0}{A = \varepsilon_S \ell([S]_0 - [S - ACD]) + \varepsilon_{ACD} \ell([ACD]_0) + \varepsilon_{S-ACD} \ell[S - ACD]}}$$

$$\frac{A_0 = \varepsilon_S \ell[S]_0 - [S - ACD]}{\Delta A = A - A_0 = (\varepsilon_{S-ACD} - \varepsilon_S) \ell[S - ACD]}$$

7. 
$$K_2^{\circ} = \frac{[S - ACD]_{\acute{e}q} c^{\circ}}{[S]_{\acute{e}q} [ACD]_{\acute{e}q}} = \frac{[S - ACD]_{\acute{e}q} c^{\circ}}{([S]_0 - [S - ACD]_{\acute{e}q})([ACD]_0 - [S - ACD]_{\acute{e}q})}$$

 $\Delta A = \Delta \varepsilon \times \ell \times [S - ACD]$ 

Puisque 
$$[ACD]_0 \gg [S]_0 > [S - ACD]_{\acute{e}q}$$

$$K_2^{\circ} \approx \frac{[S-ACD]_{\acute{e}q}c^{\circ}}{\left([S]_0 - [S-ACD]_{\acute{e}q}\right)[ACD]_0}$$

avec  $\Delta \varepsilon = \varepsilon_{S-ACD} - \varepsilon_{S}$ 

Soit

$$[S - ACD]_{\acute{e}q} = \frac{\kappa_{2}^{\'{e}}[ACD]_{0}[S]_{0}}{c^{\'{e}} + \kappa_{2}^{\'{e}}[ACD]_{0}}$$

8. 
$$\frac{[ACD]_0}{\Delta A} = \frac{c^{\circ}}{\Delta \varepsilon \times \ell \times [S]_0 K_2^{\circ}} + \frac{c^{\circ}}{\Delta \varepsilon \times \ell \times [S]_0} \cdot \frac{[ACD]_0}{c^{\circ}}$$

La courbe représentative de  $\frac{[ACD]_0}{\Delta A}$  en fonction de  $[ACD]_0$  est une droite de pente  $p = \frac{1}{\Delta \varepsilon \times \ell \times [S]_0}$  et d'ordonnée à l'origine  $\sigma = \frac{1}{\Delta \varepsilon \times \ell \times [S]_0} \frac{c^{\circ}}{K_2^{\circ}}$ . Ainsi  $K_2^{\circ} = \frac{p}{\sigma} c^{\circ}$ 

- 9. On constate que l'écart normalisé est inférieur à 2 pour les 7 points expérimentaux : le modèle rend bien compte des résultats expérimentaux. On peut donc en déduire la valeur de la constante d'équilibre  $K_2^{\circ}$  à 298 K:  $K_2^{\circ}(298 K) = 2, 7. 10^3$
- 10. D'après la relation de VAN'T HOFF,  $\frac{dln(\mathring{K_{EB}})}{dT} = \frac{\Delta_r \mathring{H_{EB}}}{RT^2}$ Dans l'approximation d'ELLINGHAM,  $ln\left(\frac{\mathring{K_{EB}}(T_2)}{\mathring{K_{EB}}(T_1)}\right) = \frac{\Delta_r \mathring{H_{EB}}}{R}\left(\frac{1}{T_1} \frac{1}{T_2}\right)$ Soit  $\Delta_r \mathring{H_{EB}} = \frac{RT_1T_2}{T_2-T_1}ln\left(\frac{\mathring{K_{EB}}(T_2)}{\mathring{K_{PD}}(T_1)}\right)$   $\Delta_r \mathring{H_{EB}} = -116, 5 \ kJ. \ mol^{-1}$

Or 
$$\Delta_r G_{EB}^{\circ}(T) = -RT ln\left(K_{EB}^{\circ}(T)\right) = \Delta_r H_{EB}^{\circ} - T \Delta_r S_{EB}^{\circ}$$
  
Soit  $\Delta_r S_{EB}^{\circ} = \frac{\Delta_r H_{EB}^{\circ}}{T} + R ln\left(K_{EB}^{\circ}(T)\right)$   $\Delta_r S_{EB}^{\circ} = -58, 2 J. K^{-1}. mol^{-1}$ 

L'encapsulation de l'écarlate de BIEBRICH s'accompagne d'une diminution du désordre (1 produit pour 2 réactifs, tous en solution) : l'entropie standard de réaction est négative.

Par ailleurs, puisque l'enthalpie standard de réaction est négative, les interactions de faible énergie entre l'écarlate de BIEBRICH et  $l'\alpha$ -cyclodextrine favorisent aussi la complexation.

L'encapsulation est donc thermodynamiquement favorable aussi bien d'un point de vue enthalpique qu'entropique.

11. Les atomes de carbone reliés à l'atome de fer dans la structure (i) ayant un environnement tétraédrique, son moment dipolaire n'aurait pas été rigoureusement nul.

Au contraire, pour des raisons de symétrie, la somme vectorielle des moments dipolaires dans la

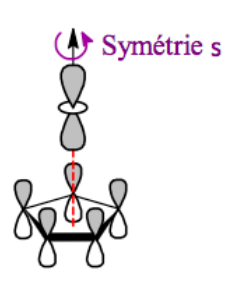
structure (ii) est nulle, comme ce doit être le cas pour le ferrocène qui est apolaire.

Par ailleurs, la molécule (i) aurait présenté en RMN <sup>1</sup>H trois groupes de noyaux d'atomes d'hydrogène magnétiquement équivalents, qui auraient été couplés. Puisqu'on observe comme unique signal un singulet, les noyaux des dix atomes d'hydrogène sont magnétiquement équivalents : ils sont donc isochrones (même déplacement chimique) et ne sont pas couplés.

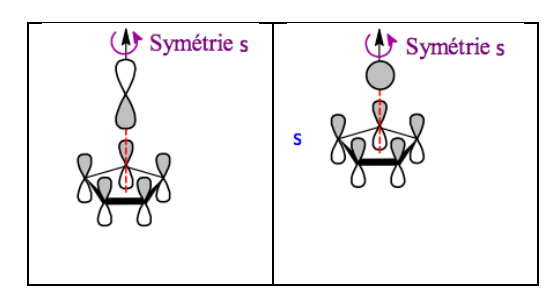
12. Configurations électroniques fondamentales :

$$26Fe$$
  $1s^2 2s^2 2p^6 3s^2 3p^6 4s^2 3d^6$   
 $26Fe^{2\oplus}$   $1s^2 2s^2 2p^6 3s^2 3p^6 3d^6$ 

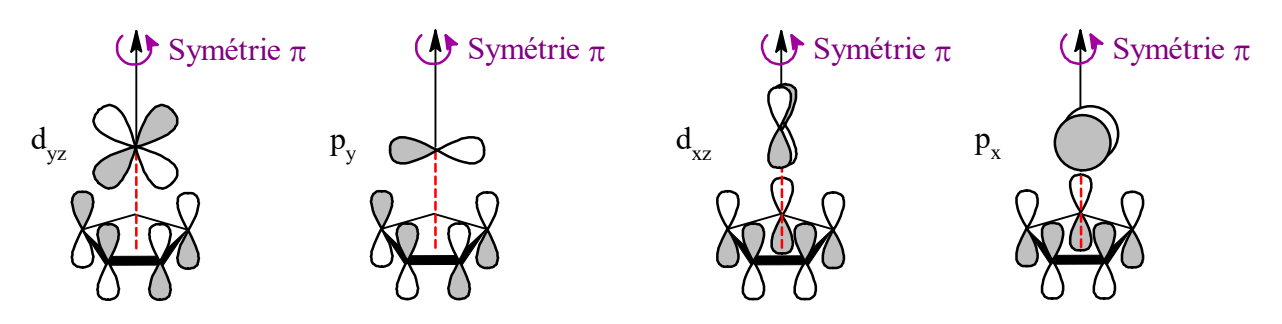
13. L'interaction orbitalaire mettant en jeu le caractère  $\sigma$ -donneur du ligand cyclopentadiènyle est certainement pour un critère énergétique (écart énergétique le plus faible) et de recouvrement axial l'interaction entre la HO-1 et l'orbitale  $3dz^2$ .



Les orbitales 4s et 4pz pourraient également être responsable de ce caractère  $\sigma$ -donneur mais sont plus éloignées en énergie.



14. Autres interactions possibles entre les orbitales atomiques du cation  $Fe^{2\oplus}$  et les orbitales les plus hautes occupées HO:



15. L'ion  $Fe^{2\oplus}$  apporte  $6e^{\ominus}$  de valence tandis que chaque ion cyclopentadiényle  $C_5H_5^{\ominus}$  apporte  $6e^{\ominus}$  de valence, qui peuplent ses orbitales de symétrie  $\pi$ . Le ferrocène possède donc  $\mathbf{18}e^{\ominus}$  de valence. Sa configuration électronique fondamentale est obtenue en peuplant les orbitales moléculaires par énergies croissantes (principe de construction/Aufbau):

$$1a_{1g}^2 \, 1a_{2u}^2 \, 1e_{1g}^4 \, 1e_{1u}^4 \, 1e_{2g}^4 \, 2a_{1g}^2$$

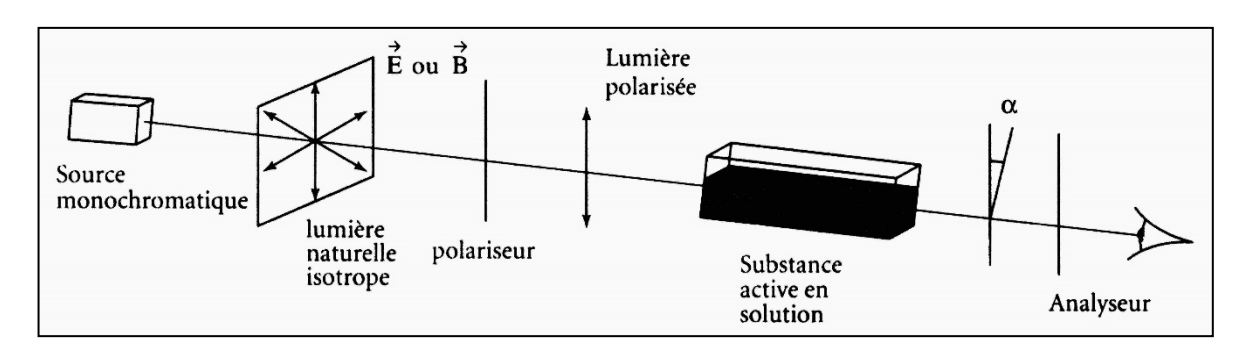
Lors d'une acylation de FRIEDEL et CRAFTS, le ferrocène intervient comme nucléophile et dans le cas d'un contrôle frontalier interagit par son orbitale la plus haute occupée, l'orbitale  $2a_{1g}$ . Celle-ci est bien plus haute en énergie que les orbitales de valence de l'ion cyclopentadiényle  $C_5H_5^{\ominus}$ : la formation du complexe contribue donc à exalter la nucléophilie des ligands, ce qui explique pourquoi l'activation électrophile du chlorure d'acyle n'est pas nécessaire.

## UTILISATION DE L'ACIDE ASCORBIQUE EN SYNTHESE - D'APRES ENS SECOND CONCOURS 2020

Q1. La vitamine C présente 3 centres stéréogènes :

Du fait du cycle, la double liaison est bloquée en configuration (Z).

Q2. Le symbole (+) signifie que la substance est dextrogyre; autrement dit, son pouvoir rotatoire spécifique  $[\alpha]_{\lambda}^{T}$  est positif: lorsqu'un observateur regarde à la sortie d'un polarimètre, la direction du plan de polarisation d'une lumière polarisée rectiligne est déviée vers la droite. Le pouvoir rotatoire  $\alpha$  est alors lui aussi positif; c'est la grandeur physique mesurable.

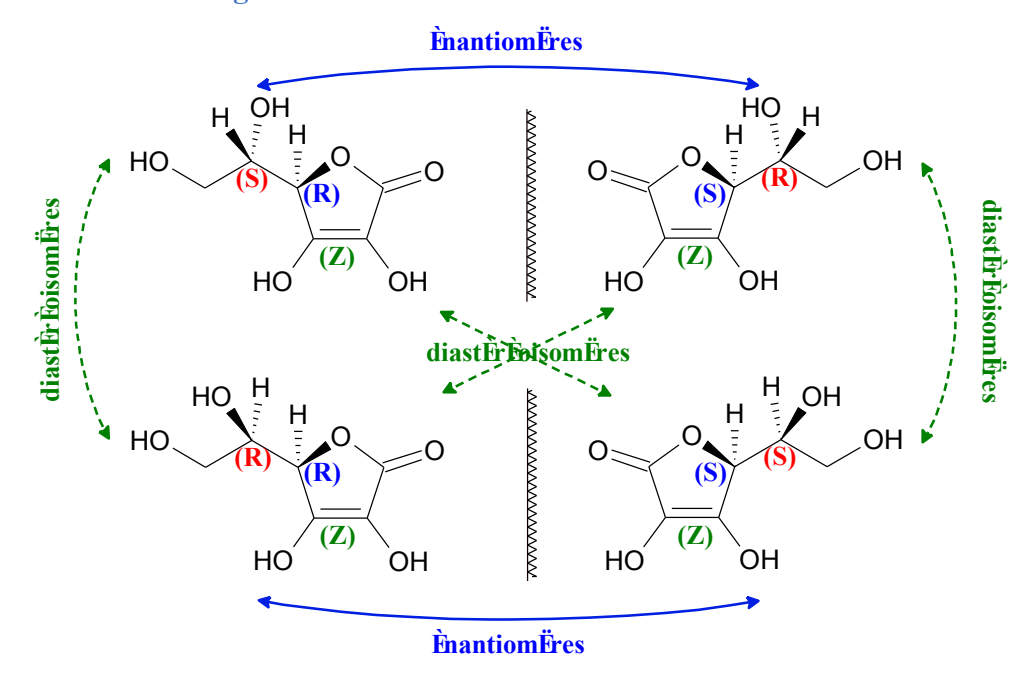


Le pouvoir rotatoire  $\alpha$  (usuellement en °) est lié au pouvoir rotatoire spécifique par une loi (additive s'il y a plusieurs espèces qui sont optiquement actives), la loi de BIOT  $\alpha = [\alpha]_{\lambda}^{T} \ell C$ :

où C est la concentration massique C de l'espèce optiquement active (usuellement en  $g.mL^{-1}$ ) et  $\ell$ , la longueur de la cuve (usuellement en dm);

Il dépend de la **nature de l'espèce optiquement active**, du solvant, de la température T et de la longueur d'onde  $\lambda$  de la source monochromatique par l'intermédiaire du pouvoir rotatoire spécifique  $[\alpha]_{\lambda}^{T}$  (usuellement en °.  $dm^{-1}$ . mL.  $g^{-1}$ ).

Q3. La vitamine C possède deux atomes de carbone asymétriques différemment substitués et une double liaison carbone-carbone dont la configuration est fixée par le cycle : il existe donc 3 autres stéréoisomères de configuration :



Q4. Pour pouvoir générer un signal en *RMN*, les noyaux analysés doivent posséder un spin nucléaire *I* non nul. Par exemple, le spin nucléaire du nucléide  ${}^{1}H$  est égal à  $\frac{1}{2}$ , comme celui du nucléide  ${}^{13}C$ .

Q5. Q6. En présence d'eau deutérée  $D_2O$ , les protons  $^1H$  labiles (cad acide et cinétiquement mobiles) sont échangés par des noyaux de deutérium  $D = ^2H$  selon la réaction d'équation :

Les signaux associés aux protons  ${}^{1}H$  échangeables des deux **fonctions alcools** ( $\delta = 4.9 \ ppm$ ) (pic élargi intégrant pour deux protons) et des deux **fonctions énols** (8,4 ppm et 11,2 ppm) disparaissent donc.

L'hydrogène le plus acide des deux fonctions énols est l'hydrogène de gauche (la base conjuguée délocalisée sur 5 atomes est plus stable- cf TP). C'est l'hydrogène le plus déblindé correspondant au signal à 11,2 ppm. L'autre H énolique sort vers 8,4 ppm.

Q7. La transformation  $1 \rightarrow 2$  suit une réaction d'acétalisation renversable d'équation :

L'eau est un produit secondaire de la réaction.

La constante d'équilibre  $K^{\circ}$  des réactions d'acétalisation est usuellement petite devant 1.

Q8. L'appareil de DEAN-STARK permet de déplacer l'équilibre dans le sens de l'acétalisation : il rend la réaction quantitative, en éliminant l'eau au fur et à mesure de sa formation. Cela a lieu à une température inférieure à sa température d'ébullition par formation d'une vapeur dont la composition est celle de l'hétéro-azéotrope eau/toluène.

L'appareil de DEAN-STARK est initialement rempli de toluène. Lorsque le mélange eau/toluène s'écoule du réfrigérant à boules, il contient alors les deux solvants qui démixent. L'eau ne doit pas refluer dans le ballon, ce qui causerait la rétro-acétalisation : on choisit donc un solvant organique moins dense que l'eau.

Le solvant organique doit donc :

- être non miscible avec l'eau, de façon à ce que le mélange forme un hétéroazéotrope ;
- être moins dense que l'eau.

On choisit donc couramment le toluène ou le cyclohexane.

**Q8.** L'APTS (à gauche) est un acide fort dont la structure est voisine de celle de l'acide sulfurique  $H_2SO_4$  (à droite):

On utilise l'APTS plutôt que l'acide sulfurique  $H_2SO_4$  car la présence du groupe para-tolyle le rend plus soluble en phase organique.

Le fait qu'il soit à l'état solide permet par ailleurs de limiter l'introduction d'eau, produit de la réaction par rapport à l'ajout d'acide sulfurique hygroscopique.

## Q10. Mécanisme de la réaction d'acétalisation :

Comme le justifie les formules mésomères du produit du  $1^{er}$  acte élémentaire, le catalyseur  $H^{\oplus}$  permet en s'additionnant sur la propanone d'exalter la charge partielle positive portée par l'atome de carbone fonctionnel et ainsi d'accélérer la réaction par activation électrophile de la propanone.